

مطالعه سنگشناسی و ژئوشیمی آمفیولیت‌های جنوب خاور سیه‌چشم، شمال باختر ایران

رباب حاجی‌علی‌اوغلی^{۱*}، حمیده فخاری‌نژاد^۲ و محسن مؤذن^۳

^۱دانشیار، گروه علوم زمین، دانشکده علوم طبیعی، دانشگاه تبریز، تبریز، ایران

^۲دانشجوی کارشناسی ارشد، گروه علوم زمین، دانشکده علوم طبیعی، دانشگاه تبریز، تبریز، ایران

^۳استاد، گروه علوم زمین، دانشکده علوم طبیعی، دانشگاه تبریز، تبریز، ایران

تاریخ پذیرش: ۱۳۹۴/۰۸/۰۳ | تاریخ دریافت: ۱۳۹۳/۱۲/۱۶

چکیده

منطقه سیه‌چشم در جنوب شهرستان ماکو در پهنه افیولیتی خوی-ماکو قرار گرفته است. سنگ‌های دگرگونی منسوب به پرکامبرین شامل گنیس، آمفیولیت، میکا شیست و مرمر قلیمی ترین بروزنهای سنگی منطقه را تشکیل می‌دهند. سنگ‌های مهم دگرگونی در منطقه شامل سرپاتینیت، متاپلیت (شیست سبز، آمفیولیت) و متاپلیت (سلیت، میکا شیست) با میان‌لايه‌هایی از مرمر و کوارتزیت است. سنگ‌های آمفیولیت از دید کانی شناسی گوناگونی بالای دارند و شامل انواع اکتینولیت-آمفیولیت، اپیدوت-اکتینولیت-آمفیولیت، بیوتیت-آمفیولیت، آمفیولیت معمولی و گارنت-آمفیولیت هستند. بافت این سنگ‌ها از دانه‌درشت و بسیار دانه‌درشت متفاوت است. مطالعات شیمی سنگ کل آمفیولیت‌ها نشان می‌دهد که ترکیب پرتوولیت این سنگ‌ها بازالتی متعلق به سری ماگمایی توله‌ایتی و کمتر کالک‌آلکالن است. بر پایه نمودارهای متمايز کننده محیط زمین ساختنی، ماگمای مادر در جزایر کمانی تشکیل شده است. بی‌هنگاری منفی Nb همراه با غنی شدگی جزبی LILE و ویژگی مرتبط با کمان آتششانی و منشأ توله‌ایتی ماگمای مادر آمفیولیت‌های مورد مطالعه را تأیید می‌کند. سن آمفیولیت‌ها در مجموعه دگرگونی سیه‌چشم به روشنی مشخص نیست بنابراین نمی‌توان به درستی در مورد سامانه فرورانشی و جزایر کمانی مرتبط که در آن سنگ مادر این آمفیولیت‌ها تشکیل شده‌اند نظر داد. چنانچه آمفیولیت‌ها مربوط به مجموعه افیولیتی خوی-ماکو باشند در این صورت حاصل فرورانش شاخه شمالی اقیانوس تیس جوان و تشکیل جزایر کمانی مرتبط و دگرگونی هنگام بسته شدن حوضه اقیانوسی و برخورد بعدی هستند. به دلیل مشخص نبودن سن این سنگ‌ها نمی‌توان با قاطعیت نظر داد که آیا کمان آتششانی مجموعه دگرگونی سیه‌چشم مربوط به سامانه فرورانشی تیس جوان است و یا اینکه کمان بسیار قدیمی منسوب به پرکامبرین منشأ سنگ مادر این آمفیولیت‌هاست. سن‌یابی این سنگ‌ها به ارائه مدل مناسب بسیار کمک خواهد کرد.

کلیدواژه‌ها: ژئوشیمی، آمفیولیت، جزایر کمانی، سیه‌چشم، شمال باختر ایران.

*نویسنده مسئول: رباب حاجی‌علی‌اوغلی

E-mail: hajialioghli@tabrizu.ac.ir

۱- پیش‌نوشتار

مجموعه دگرگونی سیه‌چشم در محدوده میان طول‌های جغرافیایی "۳۰° ۲۹' ۳۰" تا ۴۴° ۲۹' ۳۰" و ۴۴° ۳۵' خاوری و عرض‌های جغرافیایی "۰° ۳۹' ۰۰" تا ۳۹° ۰۵' شمالي میان شهرستان خوی و ماکو در شمال باختر ایران جای گرفته است. با توجه به بروزد سنگ‌هایی با سنین ناهمسان از هسته‌های کهنه پرکامبرین تا نهشته‌های نوژن-کواترنر، این منطقه در زیر تقسیمات اصلی زمین ساختنی ایران در بخش‌های گوناگون در نظر گرفته شده است. این منطقه بر پایه تقسیم‌بندی‌های ساختاری (Stocklin و آفانباتی ۱۳۸۲) بخشی از پهنه ایران مرکزی است اما با توجه به تقسیم‌بندی نبوی (۱۳۵۵) جزبی از زیر پهنه خوی-مهاباد از پهنه البرز-آذربایجان است (شکل‌های ۱- a و b). به نظر Forster (1978) آفیولیت‌ها و آمفیولیت‌های مناطق خوی، ارومیه، ماکو و اشنویه، به صورت یک پهنه افیولیتی در محل اتصال سه گانه صفحه عربی، ترکیه، ایران-قفقاز کوچک جای گرفته است (شکل ۲).

آمیزه افیولیتی خوی به سن کرتاسه پسین از انواع سنگ‌های اولترا بازیک سرپاتینیتی شده، سرپاتینیت، گذازه‌های بازیک، گابرو، دیبوریت، چرت‌های رادیولاردار، شیل‌های سرخ رنگ، سنگ‌آهک پلاژیک و ماسه‌سنگ تشکیل شده است که به صورت یک مجموعه درهم و تکتونیزه با مارن‌ها و سنگ‌آهک‌های مارنی پالتوسن در طول گسل‌های راندگی رخمنون نشان می‌دهد. Eftekharnezhad (1975) سنگ‌های دگرگونی ماکو را در شمال مجموعه دگرگونی خوی ادامه ملاتر افیولیتی خوی در نظر گرفته و دگرگونی آنها را به کوه‌زایی آپی آغازی نسبت داده است (دره قطور در موز ترکیه). Azizi et al. (2010) در مطالعات دقیق‌تر با استفاده از داده‌های سن‌سنجدی U-Pb زیرکن در سنگ‌های آمفیولیت و متاگرانیت سن تشکیل پرتوولیت سنگ‌های دگرگونی منطقه خوی را به پروتروزویک پسین (۵۵۰ تا ۵۹۰ میلیون سال پیش) نسبت داده‌اند. سن دگرگونی این سنگ‌ها بر پایه

۲- زمین‌شناسی منطقه

قدیمی‌ترین سنگ‌های رخمنون یافته در منطقه مجموعه‌ای از سنگ‌های دگرگونی با سن ناشناخته شامل سنگ‌های آتششانی-رسوبی و تودهای نفوذی با ترکیب گرانیت و دیبوریت دگرگونی در حد رخساره شیست سبز تا آمفیولیت است

بیوتیت-آمفیبولیت و گارنت-آمفیبولیت هستند. نشانه‌های اختصاری کانی‌ها از (Kretz 1983) است.

- اکتینولیت-آمفیبولیت: کانی‌های اصلی در این سنگ‌ها شامل آمفیبول از هر دو نوع اکتینولیت و هورنبلند سبز تا سبز-قهوه‌ای (حدود ۴۰ درصد) و پلازیوکلاز ۳۵ تا ۴۵ درصد است. نسبت آمفیبول به پلازیوکلاز در این سنگ‌ها متغیر بوده و از بیشتر از ۱ تا کمتر از ۱ در تغییر است. پلازیوکلاز و آمفیبول همچنین به صورت پورفیروblast در زمینه دانه‌ریز تا دانه‌متوسط دیده می‌شوند. کانی‌های تیره و تیتانیت از کانی‌های فرعی مهم هستند. بافت این سنگ‌ها گرانوبلاستی و پورفیروblastی است. در برخی از نمونه‌ها بافت دلیریتی باقیمانده از سنگ آذرین اولیه دیده می‌شود.

- اپیدوت-اکتینولیت-آمفیبولیت: کانی‌های اصلی شامل آمفیبول (۲۰ تا ۴۰ درصد)، پلازیوکلاز (۳۰ تا ۴۰ درصد)، اپیدوت (۱۰ تا ۲۰ درصد) و تیتانیت (۵ تا ۱۰ درصد) است (شکل ۵-a). آمفیبول در این نمونه‌ها به دو صورت اکتینولیت و هورنبلندی‌های سبز و سبز-قهوه‌ای دیده می‌شود. در برخی از نمونه‌ها پورفیروblast‌های آمفیبول و یا پلازیوکلاز توسط کانی‌های آمفیبول دانه‌ریزتر با جهت‌یافتنگی ترجیحی در بر گرفته شده‌اند. کانی‌های فرعی شامل کوارتز، زوئیزیت و آپاتیت است. کلریت، کلسیت، تیتانیت و اکسید آهن از کانی‌های ثانویه این سنگ‌ها هستند. تیتانیت ثانویه در پیرامون ایلمینیت دیده می‌شود که نشان‌دهنده کاهش شرایط فشار در طی دگرگونی پسروند است. فولیاسیون نیمه‌آشکار در این سنگ‌ها دیده می‌شود. از بافت‌های مهم در این سنگ‌ها بافت‌های پورفیروblastی و پوییکلوبلاستی هستند. در بافت پوییکلوبلاستی کانی‌های دانه‌ریز و سوزنی اکتینولیت به صورت ادخال‌های فراوان درون پورفیروblast پلازیوکلاز دیده می‌شود. در برخی از نمونه‌ها نیز بافت بلاستپورفیری با قیابایی از بافت آذرین اولیه دیده می‌شود.

- بیوتیت-آمفیبولیت: کانی‌های اصلی شامل هورنبلند (۴۰-۴۰ درصد)، پلازیوکلاز (۴۵ درصد) و بیوتیت (۱۰ درصد) با بافت گرانوبلاستی است (شکل ۵-b). پلازیوکلاز تا اندازه تقریبی 0.3 mm تا 1 mm به شدت تجزیه شده است. بیوتیت تا اندازه 0.6 mm و در تعادل با پلازیوکلاز در زمینه گرانوبلاستی حضور دارد. تیتانیت، اپیدوت و کانی‌های تیره از کانی‌های فرعی مهم و کانی‌های ثانویه کلریت و اپیدوت حاصل تجزیه بیوتیت و آمفیبول هستند.

- آمفیبولیت معمولی: کانی‌های اصلی شامل آمفیبول (۴۰-۵۰ درصد)، پلازیوکلاز (۲۵-۴۰ درصد) و (±) تیتانیت (۱۵-۲۵ درصد) است (شکل‌های ۵-c تا ۵-e).

آمفیبول در این نمونه‌ها دارای چندرنگی سبز و سبز-قهوه‌ای تا سبز-آبی (احتمالاً بارویسیت) است. در برخی از نمونه‌ها کانی‌های آمفیبول به صورت ریزدانه و با جهت‌یافتنگی ترجیحی فولیاسیون سنگ را تشکیل داده‌اند. کانی‌های فرعی شامل اپیدوت، زوئیزیت، تیتانیت، آپاتیت و کانی‌های تیره و کانی‌های ثانویه شامل اپیدوت، اکتینولیت، اکسید آهن، کلسیت و بیوتیت هستند. کلسیت گاهی به صورت رگه و رگجه‌هایی شکستگی‌های سنگ را پر کرده است. از بافت‌های مهم در این سنگ‌ها می‌توان به بافت‌های نماتوبلاستی، پورفیروblastی و پوییکلوبلاستی اشاره کرد. در بافت پورفیروblastی، اندازه کانی‌های آمفیبول تا 6 میلی متر دیده می‌شود که از حاشیه به اکتینولیت تجزیه شده است. برخی از نمونه‌ها بر Shi شده‌اند که در آنها پورفیروblast آمفیبول با کشیدگی از دو سو و تا اندازه $1/5 \text{ میلی متر}$ توسط کانی‌های دانه‌ریز و خرد شده از کانی‌های پلازیوکلاز، آمفیبول و کانی‌های تیره در بر گرفته شده است (شکل ۴-d). برخی از آمفیبولیت‌ها دانه‌درشت هستند (شکل ۴-e-۵). به نظر می‌رسد آمفیبولیت‌های دانه‌درشت از دگرگونی سنگ‌های آذرین درونی (گابرو یا دیوریت) تشکیل شده باشند.

- گارنت-آمفیبولیت: کانی‌های اصلی شامل آمفیبول (۵۰-۶۰ درصد)، پلازیوکلاز (۳۰-۳۵) و گارنت (۵ درصد) است (شکل ۵-f). آمفیبول به رنگ سبز-آبی (احتمالاً بارویسیت) دیده می‌شود. گارنت با شکستگی فراوان دارای میانباره‌هایی از

(شکل ۴). با توجه به موقعیت زمین‌شناسی این مجموعه دگرگونی در شمال باخته کشور که همواره در زیر واحد کربناته پرمین جای دارند (بیشتر با همبری گسلی) و نیز مقایسه واحدهای مشابه در کشور همجوار ترکیه (Moazzen, 2014) ، شاید بتوان سن پر کامبرین - پالٹزوییک (پیش از پرمین) را برای این واحدها پیشنهاد کرد. این واحد شامل مجموعه ای از آمفیبولیت‌ها همراه با کمی شیست و گیس و متاولکانیت، متاگرانیت و آهک‌های آمیبولیت‌ها می‌شوند. سنگ‌های بازیک دگرگون سنگ‌های تشکیل‌دهنده این واحد دگرگونی هستند. سنگ‌های بازیک دگرگون شده در رخساره شیست سبز کمتر دیده می‌شوند. سنگ‌های آمیبولیت ریزدانه تا بسیار درشت‌دانه و به لحاظ مقادیر مودال آمیبول و پلازیوکلاز دارای گوناگونی بالابی هستند (شکل‌های ۴-c تا ۴-h). اندازه کانی‌های آمیبول در آمیبولیت با بافت پگماتوییدی تا چندین سانتی‌متر می‌رسد (شکل ۴-f). همچنین آرایش یافتنگی کانی‌ها بهویژه آمیبول‌ها سبب جهت‌یافتنگی ترجیحی و فولیاسیون در سنگ‌های منطقه شده است (شکل ۴-c). برخی از آمیبولیت‌ها چین خوردگی نشان می‌دهند (شکل ۴-e) و در برخی دیگر، کانی‌های آمیبول و پلازیوکلاز بدون جهت‌یافتنگی مشخص در سنگ هستند (شکل ۴-h). رگه‌هایی از سیلیسی به سمت‌ای چندین میلی‌متر درون این آمیبولیت‌ها دیده می‌شود (شکل ۴-h). برخی از آمیبولیت‌ها در اثر بینه‌های گسلی و دگرشكلي‌های شکننده شدید، دگرگسان و گاه به طور کامل اپیدوتی شده‌اند (برای نمونه در مسیر دره گسلی در نزدیکی روستای عباس کندی). شیست‌های گرافیتی به رنگ سیاه بروزند قابل توجهی در منطقه نشان می‌دهند (شکل ۴-n، شمال روستای آرکواین). روستای قولار (شکل ۳) روی این شیست‌ها جای گرفته است. واحدهای کرتاسه در منطقه شامل بروزندهایی از سنگ‌های آهکی و افیولیت ملاتر هستند. سنگ‌های آهک سترلایه و به رنگ خاکستری روشن هستند و در برخی جاهای چین خوردگی نشان می‌دهند (شکل‌های ۴-a و ۴-b). سن این آهک‌ها بر پایه شواهد میکروفسیلی به کرتاسه پیشین نسبت داده شده است (امینی آذر و عباسی، ۱۳۸۲). مرز آهک‌های کرتاسه پیشین با مجموعه دگرگونی منسوب به پر کامبرین (امینی آذر و عباسی، ۱۳۸۲) گسلی است. رسوبات اثوسن (هم از سازند قم) با کنگلورهای پیشرونده روی این آهک‌ها جای گرفته‌اند (امینی آذر و عباسی، ۱۳۸۲). واحد ملاتر افیولیتی که از سنگ‌های اولترابازیک سرپانتینی شده، سرپانتینیت، گذاره‌های بازیک، گابرو، دیوریت، چرت‌های رادیولاردار، شیل‌های سرخ رنگ، سنگ‌آهک پلازیک و ماسه‌سنگ تشکیل شده است. به صورت یک مجموعه درهم و تکتونیزه در طول گسل‌های راندگی در خاور و جنوب خاور روستای قادو کنندی رخمنون نشان می‌دهد (شکل ۳).

۳- روش مطالعه

در این مطالعه کانی‌شناسی و روابط بافتی انواع سنگ‌های آمیبولیتی سیه‌چشمه بررسی و ۱۰ نمونه از آنها به منظور مطالعات ژئوشیمیایی توسط تجزیه ICP-MS در آزمایشگاه ALS Chemex کانادا تجزیه شده است. برای این منظور نمونه‌های سنگی تا حد ۷۵ میکرون توسط دستگاه پودر کن خردایش و نرمایش یافته و سپس مقدار مشخصی از نمونه با استفاده از کمک ذوب قلایی بورات لیتیم مخلوط و درون کروزه پلاتینی بر روی شعله ذوب شد. شیشه حاصل در مخلوط اسیدهای قوی حل و پس از رقیق کردن محلول توسط دستگاه طیف‌سنج جرمی‌الایی جفتیده تجزیه شد. دقت اندازه گیری برای عناصر اصلی حدود ۲ درصد و برای عناصر فرعی و کمیاب حدود ۵ درصد است.

۴- مطالعات سنگنگاری

سنگ‌های آمیبولیت بیشترین بروزندهای سنگی را در مجموعه دگرگونی سیه‌چشمه تشکیل می‌دهند. انواع آمیبولیت‌ها بر پایه مجموعه کانی‌های دگرگونی شامل انواع اکتینولیت-آمیبولیت، اپیدوت-اکتینولیت آمیبولیت، آمیبولیت معمولی،

Hf-: این عنصر با افزایش Zr روندی صعودی نشان می دهد (شکل ۸-۶). این عنصر جزو عناصر ناسازگار است که به سادگی در فازهای اصلی گوشه جایگزین نمی شود؛ با این حال ممکن است به جای Ti در فازهای فرعی مانند تیتانیت و روتیل جایگزین شود (Wilson, 1989).

Sm-: این عنصر با افزایش Zr روندی صعودی نشان می دهد (شکل ۸-۷) که می تواند در ارتباط با تشکیل تیتانیت در مراحل پایانی تبلور ماگمایی باشد.

Cr-: این عنصر با افزایش Zr روندی نزولی نشان می دهد (شکل ۸-۸). کاهش این عنصر در یک سری سنگی می تواند تشکیل کلینوپیروکسن را در مراحل اولیه ماگمایی نشان دهد (Wilson, 1989).

Ba-: این عنصر عموماً در ساختمان کانی های بیوتیت و فلدسپار پاتسیم و نیز پلاژیوکلاز و هورنبلند وارد می شود. نتایج نمودار این عنصر نیز نسبت به Zr است و نمونه ها روند مشخصی را نشان نمی دهند (شکل ۸-۸).

Cs-: این عنصر با افزایش Zr روند خاصی نشان نمی دهد (شکل ۸-۹) که می تواند در ارتباط با تحرک پذیری بالای این عنصر در طی رخداد فرایندهای دگرگونی باشد.

به طور کلی تغییرات ژئوشیمیایی سنگ های مورد مطالعه (به جز یک نمونه) برای عناصر Y, Yb, La, V, Hf و Sm روند مثبتی نشان می دهند که می تواند به سبب تبلور تفریقی ماگمایی بازالتی باشد (Wilson, 1993). روند عناصر Cr و Cs در نمودار منفی بوده و عناصر Ba و Rb روندهای مشخصی نشان نمی دهند. به باور Rollinson (1993) روندهای قطعه قطعه شده و جدا از همدیگر در نمودارهای تغییرات نشان دهنده خوبی از چگونگی جدایش بلور- مذاب در هنگام تکامل ماگمایی است.

۳. پتوژنی و جایگاه زمین ساختی سنگ اولیه آمفیبولیت های سیه چشم
عناصر Zr و Y در بیشتر فازهای تفرق پذیر ماگمای بازالتی (الیوین، پیروکسن و پلاژیوکلاز) ناسازگار هستند. نسبت Zr/Y به طور محسوسی تحت تأثیر تبلور تفریقی و تفرقی بلورها (البته در تفرقی عادی) از ماگما قرار نمی گیرد. به این دلیل که Zr در شرایط گوشه ای نسبت به Y ناسازگارتر است (Zhang et al., 2001).

Pearce & Norry (1979) از نسبت Zr/Y در برابر اندیس Zr برای تمايز میان بازالت های جزایر کمانی، مورب و بازالت های درون صفحه ای استفاده کردند. بر این اساس نمونه های مورد مطالعه (به جز یک نمونه) در محدوده بازالت های جزایر کمانی و نیز محدوده همپوشانی آن با پشتله های میان اقیانوسی جانمایی می شوند (شکل ۹).

همچنین بر پایه نمودارهایی که توسط Pearce (1982) ارائه شده است (شکل های ۱۰-a و b)، نمونه های مورد مطالعه در دو محدوده بازالت های کمان آتشفسانی و بازالت های پشتله میان اقیانوسی قرار می گیرند. Meschede (1986) نمودار مثلثی ۴-Y-2Nb-Zr/2 در برای تفکیک جایگاه زمین ساختی بازالت های ارائه کرده است. بر پایه این نمودار، نمونه های مورد مطالعه (به جز یک نمونه) در محدوده بازالت های کمان آتشفسانی و بازالت های پشتله میان اقیانوسی قرار می گیرند (شکل ۱۰-c). در نمودار مثلثی Ta-Th-Hf/3 (Wood, 1980) بیشتر نمونه ها در محدوده بازالت های کمان آتشفسانی و تعداد کمتری از نمونه ها در محدوده بازالت های پشتله میان اقیانوسی قرار می گیرند (شکل ۱۰-d). در نمودارهای مثلثی Wood بر پایه ۱/۱۶ Nb، Th و Zr/117 (شکل ۱۰-e) و Nb/16 و Th/Hf/3 (شکل ۱۰-f) بیشتر نمونه های مورد مطالعه در محدوده بازالت های توله ایتی جزایر کمانی و یک نمونه هم در محدوده بازالت های کالک آلکالن کمانی قرار می گیرند. Tarney et al. (1979) پراکنش نمونه های دگرگونی و غیر دگرگونی را روی نمودارهای متمایز کننده محیط های زمین ساختی امری عادی در نظر گرفته اند؛ به طوری که در بیشتر موارد نتیجه گیری صریح در مورد محیط زمین ساختی تشکیل سنگ ها را مشکل می سازد. همچنین ایشان بر این باور هستند که حتی در مورد بازالت های عهد حاضر که موقعیت زمین ساختی تشکیل آنها بسیار خوب شناخته

پلاژیوکلاز و آمفیبول است. کانی های فرعی شامل تیتانیت، زوئیزیت و زیرکن است. همچنین تیتانیت به صورت ثانویه از تجزیه شدگی ایلمینیت در این سنگ ها تشکیل شده است. بافت این سنگ ها دکوسات گرانوبلاستی (granoblastic decussate) است که در آن کانی های کشیده آمفیبول با جهت یافگی اتفاقی در سنگ دیده می شوند.

۵- شیمی سنگ گل

۱۰ نمونه از آمفیبولیت هایی دارای کمترین هوازدگی برای تجزیه شیمیایی کل سنگ انتخاب شدند. جدول ۱ نتایج این تجزیه ها را نشان می دهد. استفاده از شیمی سنگ کل در سنگ های دگرگونی همواره بايد با اختیاط مورد استفاده قرار گیرد. پدیده های دگرگونی و دگرسانی می توانند سبب تغییر غلظت و مقادیر عناصر متخرک در ترکیب شیمیایی سنگ های آذرین اولیه شده باشند و به این علت است که استفاده از عناصر غیر متخرک می تواند اطلاعات قابل قبول را در مطالعه ژئوشیمیایی سنگ های دگرگونی به دست دهد. در این بخش با استفاده از داده های عناصر فرعی و کمیاب در آمفیبولیت های سیه چشم، ترکیب ماگما، ویژگی های ژئوشیمیایی و جایگاه زمین ساختی سنگ اولیه آمفیبولیت های مورد مطالعه تعیین شده است.

۵-۱. ترکیب سنگ اولیه و سری ماگمایی

به باور Seewald & Seyfried (1990) فلزات واسطه (Cr, Co, Ni, V) در طول دگرگونی رفتاری غیر متخرک از خود نشان می دهند. Ta, Nb و REE نیز عموماً جزو عناصر غیر متخرک در نظر گرفته می شوند. Pearce & Cann (1973) استفاده از عناصر کمیاب همچون Sc و Zr با برابر Floyd & Winchester (1978) سنگ های دگرگونی پیشنهاد کردند. برای مشخص کردن ترکیب سنگ اولیه از نمودار Th در برابر Co (Hastie et al., 2007) استفاده شده است (شکل ۶). بر پایه این نمودار، بیشتر نمونه ها در محدوده بازالت قرار می گیرند. سری ماگمایی سنگ های مورد مطالعه بر پایه نمودارهای Ta/Yb-Th/Yb (شکل ۷-a) و Ta/Yb-Ce/Yb (شکل ۷-b) به طور اصلی توله ایت تعیین می شود. در این نمودارها تنها یک نمونه در محدوده کالک آلکالن جانمایی شده است (شکل ۷). ترکیب بازیک تا حد واسطه با ویژگی های توله ایتی تا کالک آلکالن سنگ مادر آمفیبولیت های در مجموعه دگرگونی سیه چشم می باشد. مقدار مقایسه با نتایج به دست آمد از مطالعات ژئوشیمیایی آمفیبولیت های خوب توسط Azizi et al. (2002) است.

۵-۲. بروزی نمودارهای تغییرات

به منظور بررسی تغییرات ژئوشیمیایی ماگمایی اولیه سازنده سنگ مادر آمفیبولیت های مطالعه شده از نمودارهای تغییر عناصر فرعی و کمیاب در برابر Zr استفاده شده است (شکل ۸):

-Y: با افزایش Zr روند صعودی نشان می دهد (شکل ۸-a). Y عنصر ناسازگار است که در مراحل پایانی تبلور ماگمایی در فازهای فرعی مانند تیتانیت و آپاتیت جمع می شود (Wilson, 1989). همچنین این عنصر همانند HREE به راحتی در ساختمان گارنیت و آمفیبول تجمع می باید.

-Yb: این عنصر با افزایش Zr روند صعودی نشان می دهد (شکل ۸-b) که می تواند تحول ماگما در مراحل پایانی فرایندهای ماگمایی را نشان دهد.

-V: این عنصر با افزایش Zr روندی تقریباً صعودی نشان می دهد (شکل ۸-c) که این تغییر می تواند نشانه مفیدی بر جدایش اکسیدهای آهن و تیتان (ایلمینیت و تیتانومگنتیت) باشد (Wilson, 1989). این عنصر همچنین می تواند در ترکیب کانی های آمفیبول و بیوتیت وارد شود.

-La: این عنصر با افزایش Zr روندی صعودی نشان می دهد (شکل ۸-d). افزایش La را احتمالاً بتوان در ارتباط با تشکیل تیتانیت در مراحل پایانی تبلور ماگمایی تفسیر کرد (Wilson, 1989).

شده است، استفاده از نمودارهای متمایز کننده محیط‌های زمین ساختی نتایج پیچیده و متفاوتی به دست می‌دهد.

نتیجه اینکه در نمودارهای متمایز کننده بازالت‌ها، نمونه‌های مورد مطالعه ویژگی مرتبط با کمان آتششانی را به طور اصلی و ویژگی پشتہ میان اقیانوسی را کمتر نشان می‌دهند (شکل ۸) بنابراین از این نمودارها به روشنی نمی‌توان موقعیت زمین ساختی پرتوولیت آمفیبولیت‌های سیه‌چشم را مشخص کرد.

به باور (1993)، عناصر خاکی کمیاب (REE)، با قابلیت انحلال کم در سیال‌ها در طول فرایندهای دگرگونی درجه پایین، هوازدگی و دگرسانی گرمایی، به نسبت غیرمتحرک باقی می‌مانند. البته این عناصر به طور کامل غیرمتحرک نیستند و در تفسیر داده‌های سنگ‌های خیلی دگرسان شده و یا سنگ‌های دگرگونی درجه بالا باید با اختیاط نتایج را مورد استفاده قرار داد (Rollinson, 1993). بر این اساس، از نمودارهای عناصر خاکی کمیاب برای تفکیک بازالت‌های توله‌ایتی و استسنه‌های میان اقیانوسی و کمان‌های آتششانی استفاده می‌شود. نمودارهای REE بهنجار شده با کندریت برای نمونه‌های مورد مطالعه (بر پایه داده‌های Boynton (1984)، غنی‌شدگی پایین LREE را برابر بازالت‌های توله‌ایتی سیه‌چشم نشان می‌دهند (شکل ۱۵-a). غنی‌شدگی جزیی در LREE و عدم تهی شدگی در HREE در این نمودار نشانگر همانندی الگوی REE این نمونه‌ها با بازالت‌های توله‌ایتی ماسگماهای کمان آتششانی ترکیه (Robertson & Ustaomer, 2009) است (شکل ۱۵-b). مقادیر پایین LILE در یکی از نمونه‌ها (HF4-8) در شکل ۱۵-a را می‌توان در ارتباط با دخالت کمتر فرایندهای آلودگی پوسته‌ای نسبت به ماسگماهای کمان‌های بالغ در نظر گرفت.

۶- نتیجه‌گیری

آمفیبولیت‌های جنوب خاور سیه‌چشم به صورت انواع اکتینولیت-آمفیبولیت، اپیدول-اکتینولیت-آمفیبولیت، بیوتیت-آمفیبولیت، آمفیبولیت معمولی و گارنٹ-آمفیبولیت هستند.

ترکیب شیمیایی پرتوولیت در آمفیبولیت‌های مورد مطالعه، بازالت و یا معادل درونی و یا نیمه‌ثرف آن (گابرو/دیوریت و دیباز) است. همچنین بر پایه نمودارهای ژئوشیمیایی سری ماسگماهای سنگ مادر بیشتر توله‌ایتی و کمتر کالک‌آلکالن است. بر پایه نمودارهای متمایز کننده محیط زمین ساختی ماسگماهای مادر آمفیبولیت‌های مورد مطالعه در محیط جزایر کمانی تشکیل شده است.

سن آمفیبولیت‌ها در مجموعه دگرگونی سیه‌چشم به روشنی مشخص نیست. در نقشه‌های زمین‌شناسی ۱/۱۰۰۰۰ ماکو (امینی‌آذر و عباسی، ۱۳۸۲) و ۱/۲۵۰۰۰ ماکو (Alavi & Bolurchi, 1973) سن این دگرگونی‌ها با علامت سوال به پرکامبرین نسبت داده شده است. از آنجایی که سن آمفیبولیت‌های مورد مطالعه مشخص نیست نمی‌توان به درستی در مورد مدل زمین ساختی تشکیل این آمفیبولیت‌ها نظر داد. به نظر می‌رسد با در نظر گرفتن داده‌های سنی U-Pb زیرکن (۵۹۰ تا ۵۵۰ میلیون سال؛ Azizi et al., 2010) در آمفیبولیت‌های مجموعه دگرگونی خوی در ادامه جنوبی دگرگونی‌های مورد مطالعه در سیه‌چشم (هر دو متعلق به زیرپهنه خوی-مهاباد) و برخی همانندی‌های سنگ‌شناصی و ژئوشیمیایی آمفیبولیت‌ها در این دو مجموعه دگرگونی احتمالاً بتوان آمفیبولیت‌های سیه‌چشم را قابل مقایسه با آمفیبولیت‌های خوی به پرتوزوویک زیرین نسبت داد. در هر حال هنوز نمی‌توان با قاطعیت نظر داد که آیا کمان آتششانی مجموعه دگرگونی سیه‌چشم مربوط به کمان بسیار قدیمی منسوب به پرکامبرین (امینی‌آذر و عباسی، ۱۳۸۲) و یا کمان آتششانی مربوط به فروزانش پوسته اقیانوسی نوتیس و در ارتباط با کمپلکس افیولیتی خوی-ماکو است. برای ارائه نتایج دقیق‌تر در مورد سن پرتوولیت، الگوی ژئودینامیکی و زمین‌شناسی این بخش از پوسته ایران، نیاز به سن‌سنجی آمفیبولیت‌ها است.

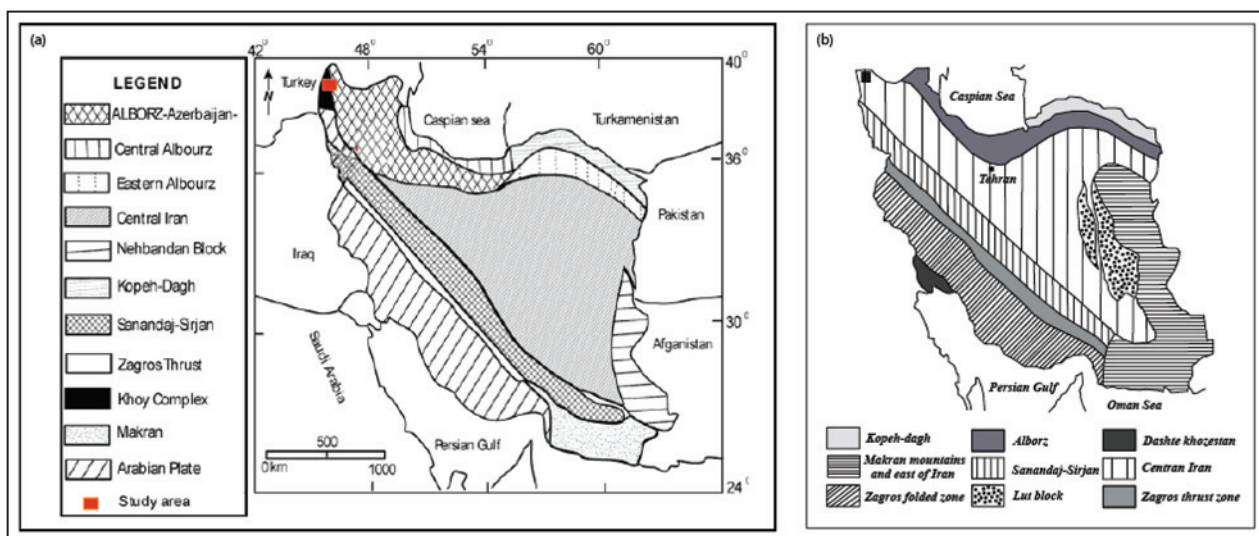
به باور (1975)، بازالت‌های توله‌ایتی می‌توانند در محیط‌های پشتہ‌های میان اقیانوسی، جزایر کمانی و حوضه‌های پشت کمانی تشکیل شوند که البته هر یک ویژگی‌های ژئوشیمیایی خاص خود را دارند. نمودار عناصر کمیاب ناسازگار Zr در برابر Y (Abu-Hamattah, 2005) برای تفکیک منشأ غنی شده و تهی شده سری توله‌ایتی پرتوولیت آمفیبولیت‌های سیه‌چشم تأیید می‌شود. همه نمونه‌های مورد مطالعه در این نمودار در محدوده غنی شده جانمایی شده‌اند که بر این اساس منشأ غنی شده مگمای توله‌ایتی و کالک‌آلکالن پرتوولیت آمفیبولیت‌های سیه‌چشم تأیید می‌شود (شکل ۱۱). به باور (1975) Miyashiro مگمای توله‌ایتی همراه با کالک‌آلکالن مخصوص مناطق جزایر کمانی است؛ در صورتی که در پشتہ‌های میان اقیانوسی، سری‌های ماسگماهای توله‌ایتی همراه با آلکالن دیده می‌شود. بنابراین با توجه به ترکیب توله‌ایتی پرتوولیت بیشتر نمونه‌های مورد مطالعه و ترکیب کالک‌آلکالن درصد کمی از نمونه‌های مورد مطالعه، به نظر می‌رسد محیط زمین ساختی از نوع جزایر کمانی برای آمفیبولیت‌های سیه‌چشم قابل قبول تر باشد.

۵- بروزی نمودارهای عنکبوتی و عناصر خاکی کمیاب

نمودارهای عنکبوتی ابزار قابل اعتمادی برای تعیین نوع سنگ منشأ، کیفیت ذوب بخشی و تفکیک سری‌های ماسگماهای هستند. این نمودارها از عناصری تشکیل شده‌اند که نسبت به کانی‌شناسی ایده‌آل گوشته حالت ناسازگار دارند. مفیدترین کاربرد این نمودارها برای نشان دادن شیمی بازالت‌هاست (Rollinson, 1993). در نمودار عنکبوتی بهنجار شده با کندریت (بر پایه داده‌های Thompson et al., 1984) برای نمونه‌های مورد مطالعه، بی‌هنجری منفی Nb دیده می‌شود که نشان از حفظ این عناصر در مشا در طی ذوب بخشی دارد (شکل ۱۲). بی‌هنجری منفی Nb از مشخصه‌های بازالت‌های کمان آتششانی است (Wilson, 1993). این بی‌هنجری همچنین شاخص سنگ‌های قاره‌ای است و ممکن است نشان دهنده شرکت پوسته در فرایندهای ماسگماهای باشد (Saunders et al., 1992; Nagudi et al., 2003). میانگین ترکیب پوسته قاره‌ای به شدت از نیویم تهی شده است و هر ماسگماهای آلاش یافته با مواد پوسته‌ای این بی‌هنجری منفی را در شیمی خود بازتاب می‌دهد (Saunders et al., 1992; Nagudi et al., 2003). عنصر Nb به طور ایزو-موروفی جانشین عنصر Ti و Zr می‌شود. از آنجایی که شعاع یونی نیویم تقریباً برابر با شعاع یونی تیتانیم است و تفاوت محسوسی با شعاع یونی زیرکنیم دارد، مقدار آن در کانی‌های تیتانیم‌دار بیشتر از کانی‌های زیرکنیم‌دار است (Gerasimovsky, 1974). غلظت Ti, Ta و Nb کانی‌هایی همچون ایلمنیت، روتل و تیتانیت کنترل می‌شود. این کانی‌ها جزو کانی‌های دما بالا هستند که در مراحل ابتدایی تبلور ماسگماهای تشکیل می‌شوند.

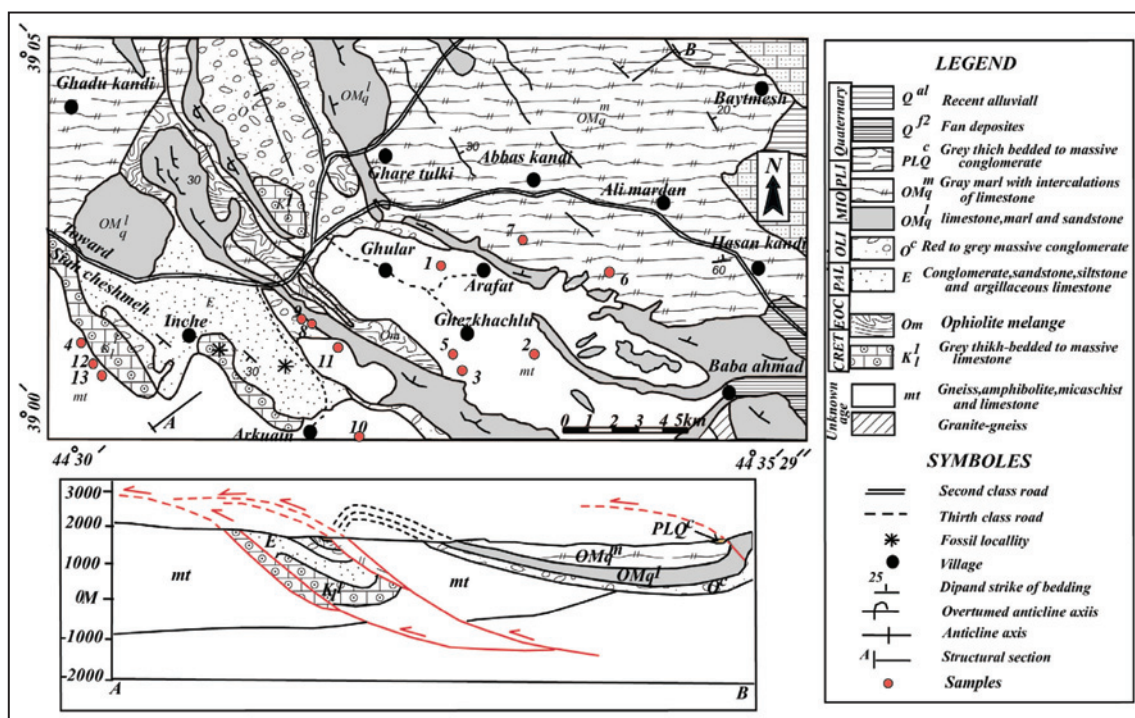
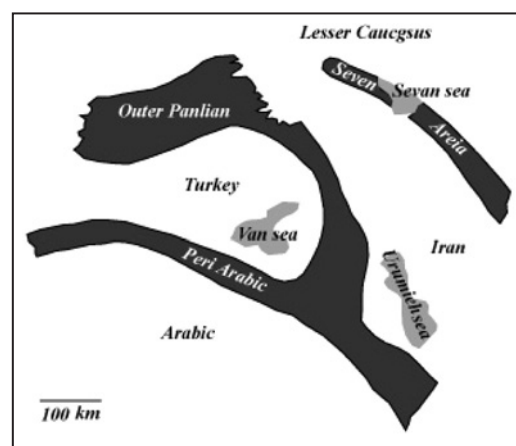
در نمودار بهنجار شده نسبت به MORB (بر پایه داده‌های Pearce, 1983) نمونه‌های مطالعه شده نسبت به MORB از عناصر با پتانسیل یونی پایین (LILE) غنی شده هستند (شکل ۱۳). عناصر LILE معمولاً تحت تأثیر فازهای سیال متحرک می‌شوند. غنی‌شدگی این عناصر در بازالت‌های جزایر کمانی را احتمالاً بتوان به عملکرد فرایند متساموایسم گوشته توسط سیال‌ها (Wilson, 1993) و یا آلودگی از منشأ پوسته‌ای (Chapell & White, 1974) نسبت داد.

نمودارهای عنکبوتی بهنجار شده با کندریت و MORB برای آمفیبولیت‌های سیه‌چشم با سنگ‌های همانند از ترکیه (Robertson & Ustaomer, 2009;) نسبت داد.



شکل ۱- موقعیت منطقه مورد مطالعه بر پایه تقسیم‌بندی واحدهای ساختاری ایران. (a) نبوی (۱۳۵۵)؛ (b) Stocklin (1968)

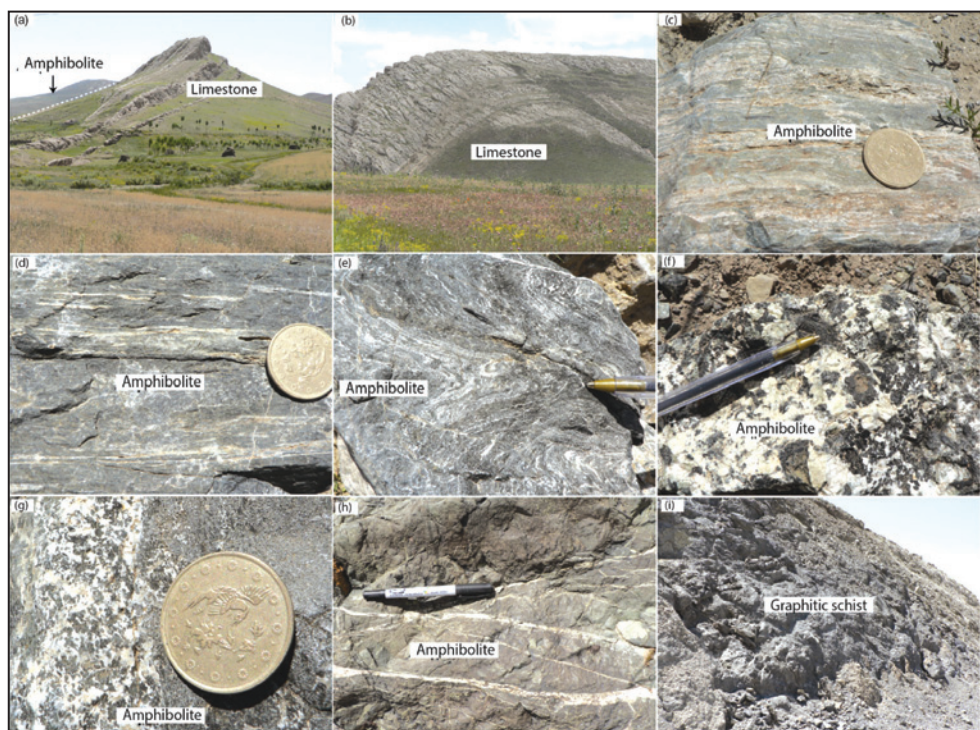
شکل ۲- گسترش پوسته اقیانوسی خوبی
میان صفحه‌های ایران، عرب، ترکیه و قفقاز
. (Forster, 1978)



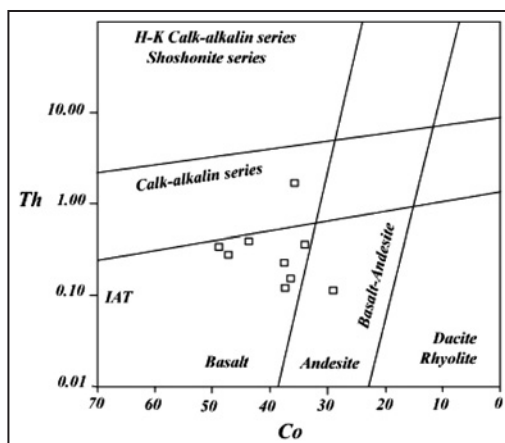
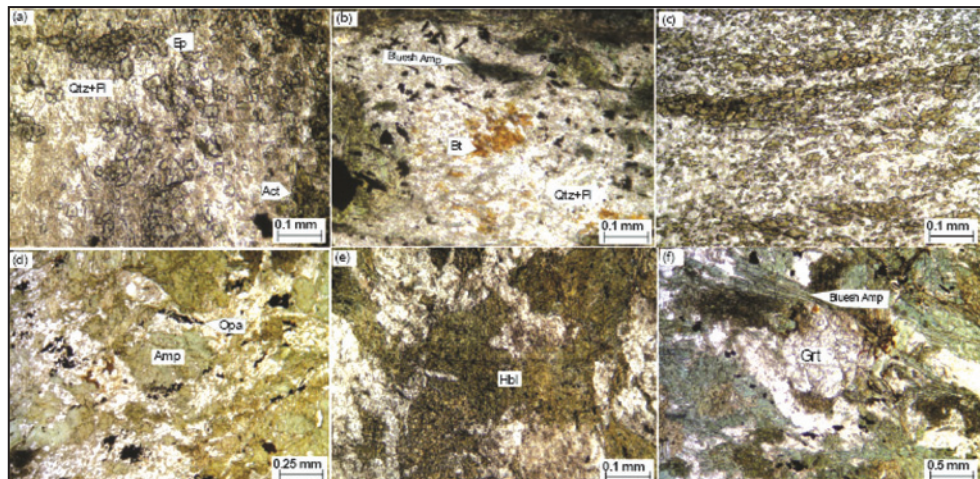
شکل ۳- نقشه زمین‌شناسی منطقه مورد مطالعه در جنوب خاور سیه‌چشم (برگرفته از امینی آذر و عباسی (۱۳۸۲)).

a) دورنمایی از آمفیولیت و آهک در جنوب رستای عباس کندی؛

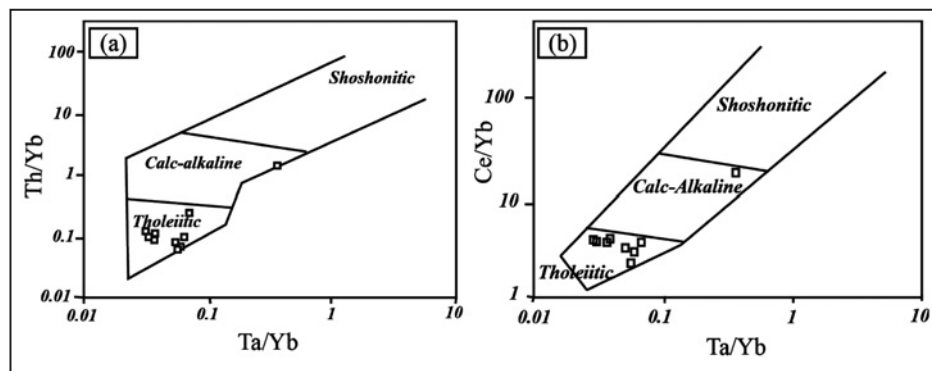
b) دورنمایی از آهک؛ c) آمفیولیت با نوارهای تیره و روشن در آن؛ d) آمفیولیت ریزدانه تا دانه‌متسطّع؛ e) چین خورده‌گی در آمفیولیت؛ f) بافت پگماتوییدی در آمفیولیت بسیار درشت‌دانه که اختتماً از دگ‌گونی رگه‌های ماسیابی با بافت اولیه پگماتیتی تشکیل شده است؛ g) مرز آمفیولیت ریزدانه و بسیار درشت‌دانه؛ h) رگه‌های نازک سیلیس در آمفیولیت؛ i) برونز شیسته‌های گرافیتی سیاه زنگ در شمال رستای آرکواین.



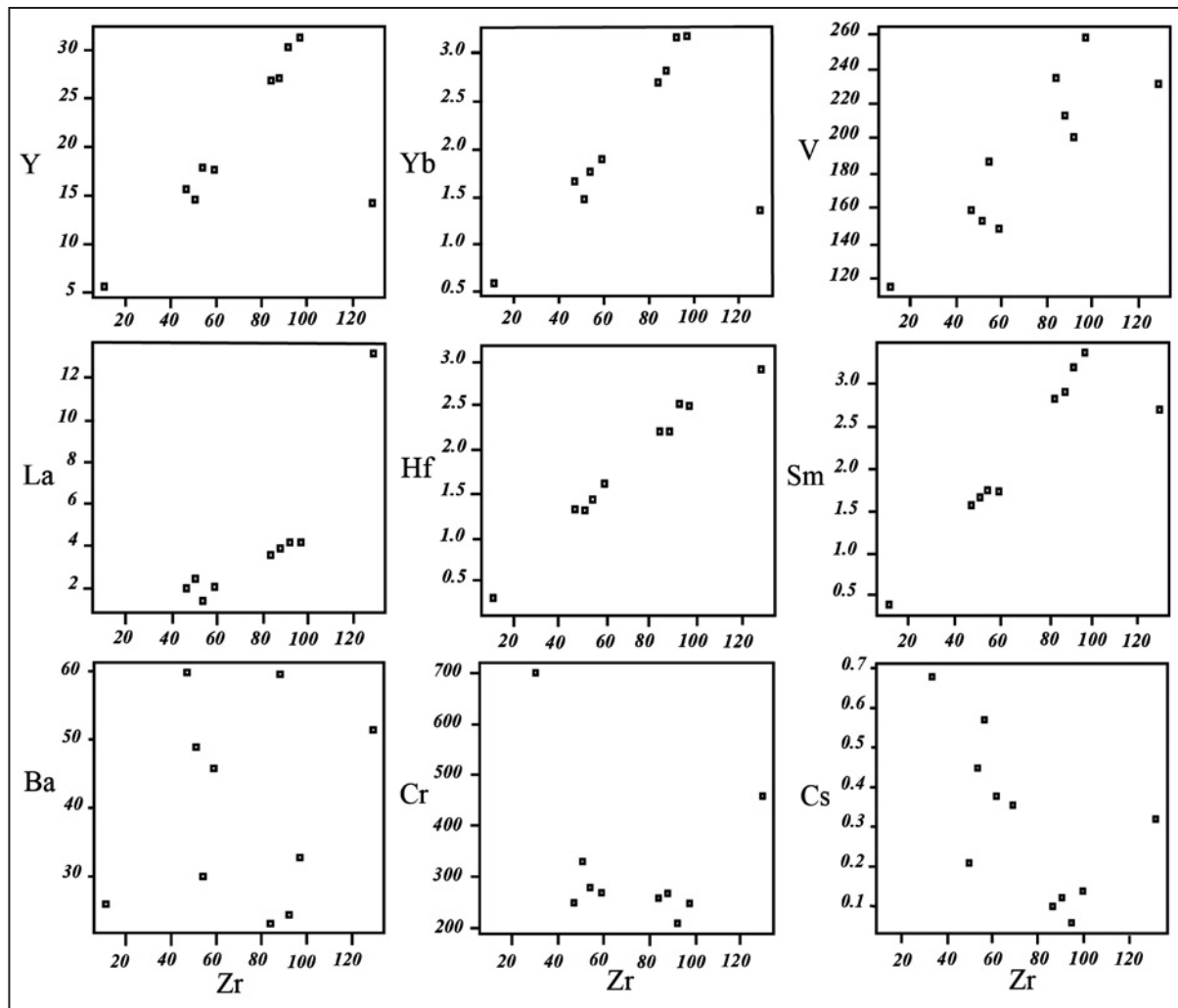
(a) اپدوت-اکتینولیت-آمفیولیت،
 (b) بافت گرانوبلاستی در
 (c) آمفیولیت، بیوئیت در تعادل با پلاژیوکلاز
 (d) آمفیولیت سنگ مشاهده می شود، حالت
 در زمینه آن احتمالاً از
 (e) آمفیولیت ریزدانه که احتمالاً از
 دگرگونی بازالت تشکیل شده است، حالت
 (f) آمفیولیت برشی شده با بافت
 پورفیروکلاستی، حالت
 درشت دانه که احتمالاً از دگرگونی گابرو
 تشکیل شده است، حالت
 (g) گارنت
 در آمفیولیت. آمفیولیوں به رنگ سبز متغیر
 به آبرن است، حالت PPL.



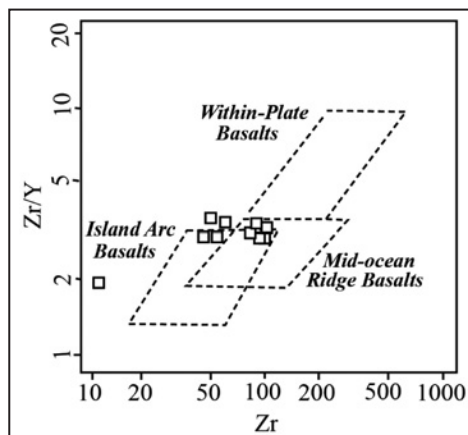
شکل ۶- نمودار Th در برایر Co از (2007) Haste et al.



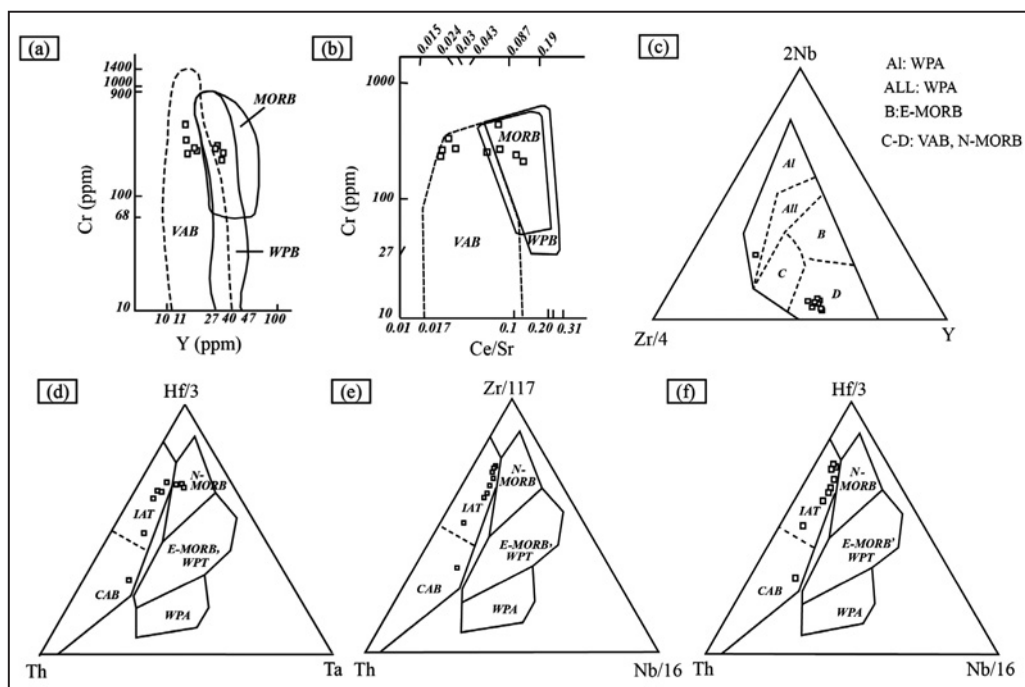
شکل ۷- (a) نمودار Th/Yb در برابر Ta/Yb در برابر (Pearce, 1983) Ce/Yb نمودار (b) Ce/Yb در برابر Ta/Yb در برابر (Pearce, 1983)



شکل ۸- نمودارهای تغییرات عناصر فرعی نسبت به Zr در آمفیبولیت‌های مورد مطالعه.

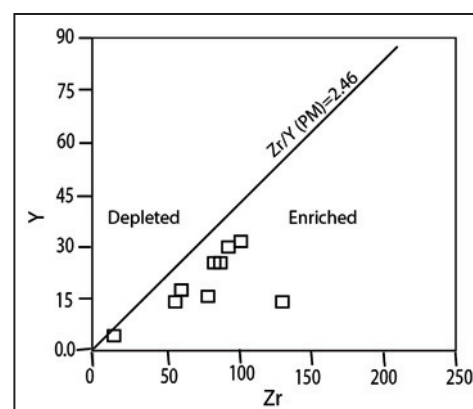


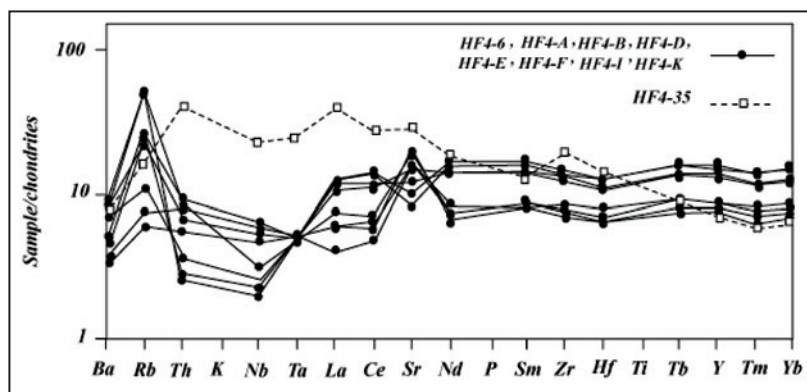
شکل ۹- نمودار Zr/Y در برابر Zr (از Pearce & Norry (1979))



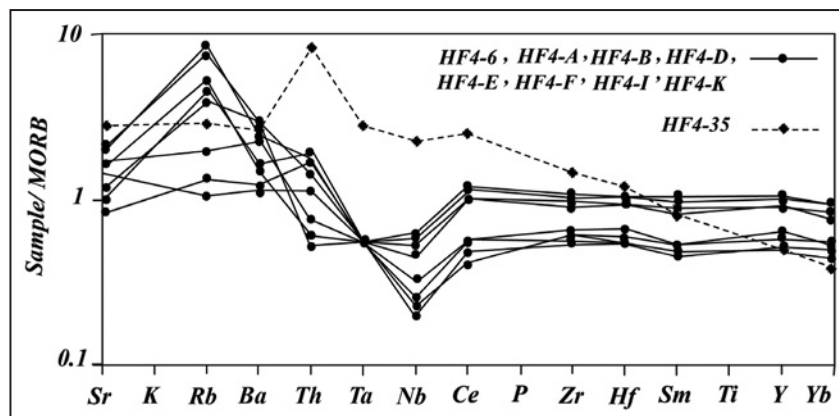
شکل ۱۰- (a) نمودار متمایز کننده بازالت‌ها بر پایه $Cr-Y$ (Pearce, 1982) (b) نمودار متمایز کننده بازالت‌ها بر پایه $Cr-Ce/Sr$ (Pearce, 1982) (c) نمودار متمایز کننده بازالت‌ها بر پایه $Zr/4$ و Y (Meschede, 1986) (d) نمودار متمایز کننده بازالت‌ها بر پایه $Hf/3$, Th و Ta (Wood, 1980) (e) نمودار متمایز کننده بازالت‌ها بر پایه $Zr/117$, Th , $Nb/16$ و Y (Wood, 1980) (f) نمودار متمایز کننده بازالت‌ها بر پایه $Hf/3$, Th و $Nb/16$ (Wood, 1980). بازالت‌های کمان آتشفشاری (VAB)، بازالت‌های درون صفحه‌ای (WPA)، بازالت توله‌ایتی جزایر کمانی (WPB)، بازالت کالک‌آلکالن (CAB)، بازالت آلکالن درون صفحه‌ای (IAT)، بازالت کالک‌آلکالن (WPA)، بازالت آلکالن درون صفحه‌ای (IAT).

شکل ۱۱- نمودار Zr در برابر Y (Abu-Hamatteh, 2005). نسبت گوشته اولیه (Primordial Mantle) از Sun & McDonough (1989) است.

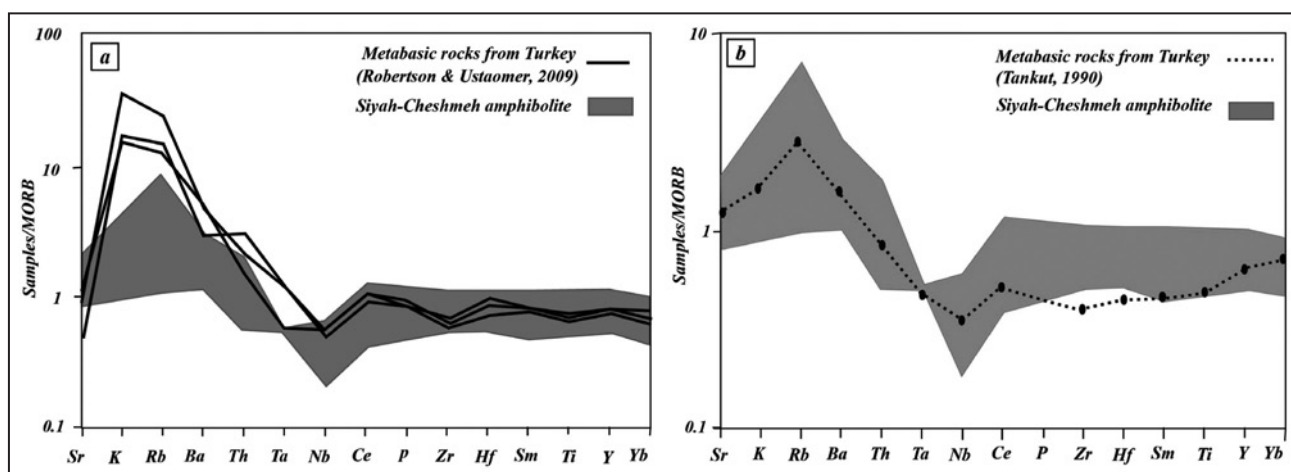




شکل ۱۲- نمودار عنکبوتوی بهنجار شده با کندریت (Thompson et al., 1984) برای آمفیبولیت‌های سیه چشمی.

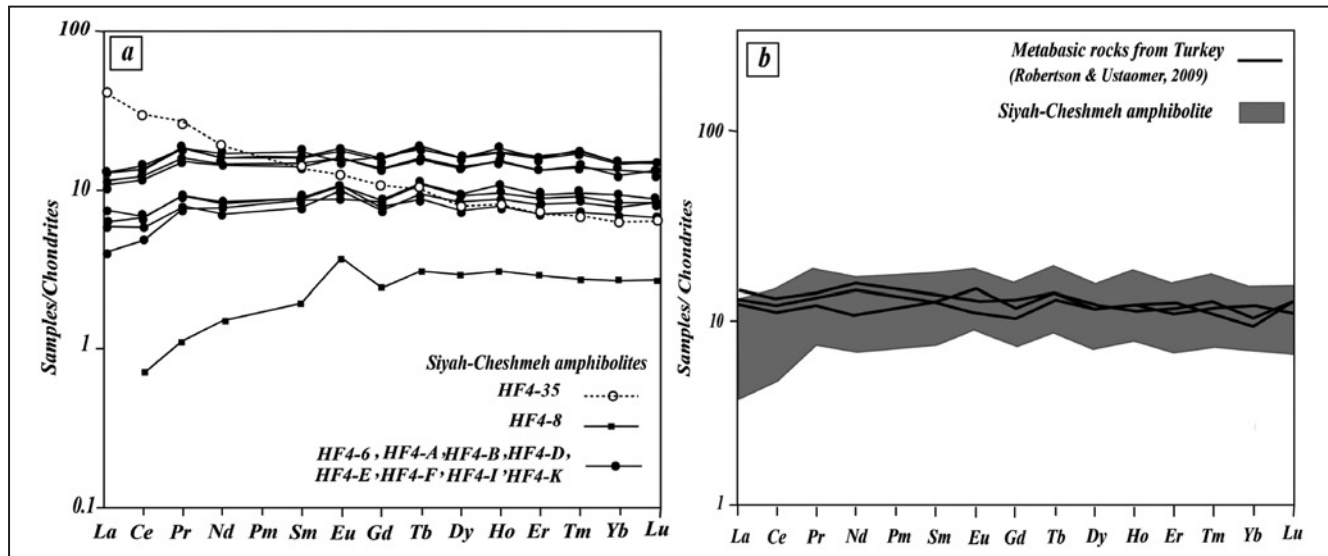


شکل ۱۳- نمودار عنکبوتوی بهنجار شده با MORB (Pearce, 1983) برای آمفیبولیت‌های سیه چشمی.



شکل ۱۴- مقایسه نمودارهای عنکبوتوی در آمفیبولیت‌های سیه چشمی با سنگ‌های متابازیک جزایر کمانی در ترکیه. (a) Robertson & Ustaomer (2009) (b) Tankut (1990)

عناصر و بی‌هنگاری‌های موجود در آمفیبولیت‌های سیه چشمی قبل مقایسه با متابازیک‌های مرتبط با جزایر کمانی در ترکیه است.



شکل ۱۵-(a) نمودار REE بهنجار شده با کندریت برای نمونه‌های مورد مطالعه (بر پایه داده‌های Boynton (1984); (b) مقایسه الگوی REE در آمفیبولیت‌های سیه‌چشم با سنگ‌های متابازیک ترکیه (Robertson & Ustaomer, 2009). مقادیر عناصر و بی‌هنجاری‌های موجود در آمفیبولیت‌های مورد مطالعه قابل مقایسه با متابازیک‌های مرتبط با جزایر کمانی در ترکیه است.

جدول ۱- نتایج تجزیه شیمیایی ۱۰ نمونه از آمفیبولیت‌های سیه‌چشم برای عناصر فرعی و کمیاب به روش ICP-MS

Element (ppm)	HF4-6	HF4-8	HF4-35	HF4-A	HF4-B	HF4-D	HF4-E	HF4-F	HF4-I	HF4-K
Ag	>1	>1	>1	>1	>1	>1	>1	>1	>1	>1
Ba	48/9	26/1	51/5	32/2	22/5	59/8	59/6	45/8	31/0	32/9
Ce	5/9	0/6	24/9	9/9	11/6	4/9	10/2	5/8	3/4	11/9
Co	33/9	40/9	35/7	37/5	48/7	28/9	47/2	36/5	37/4	43/7
Cr	33/0	7/00	46/0	26/0	21/0	25/0	27/0	27/0	28/0	25/0
Cs	0/45	0/68	0/32	0/10	0/06	0/21	0/12	0/18	0/07	0/14
Cu	5/3	5/2	4/2	9/0	1/5	5/2	7	5/5	6	5/2
Dy	2/054	0/98	2/07	4/99	5/27	2/77	4/71	3/07	3/10	5/31
Er	1/059	0/93	1/07	2/92	3/41	1/74	2/94	2/03	1/93	2/36
Eu	0/74	0/28	0/95	1/18	1/30	0/73	1/15	0/78	0/66	1/12
Ga	12/5	10/3	16/0	15/3	13/5	14/3	15/2	12/5	17/4	16/0
Gd	2/11	0/65	2/88	3/65	4/24	2/04	2/66	2/25	2/27	4/37
Hf	1/2	0/3	2/9	2/2	2/5	1/3	2/2	1/6	1/4	2/5
Ho	0/54	0/21	0/55	1/00	1/16	0/06	1/02	0/70	0/64	1/16
La	2/4	0/25	13/2	3/5	4/1	1/9	3/8	2/0	1/3	3/4
Lu	0/22	0/09	0/21	0/42	0/49	0/27	0/42	0/28	0/27	0/49
Mo	<2	<2	2	<2	<2	<2	<2	<2	<2	<2
Nb	1/1	<0/7	8/0	1/8	2/1	0/7	1/8	0/9	0/8	2/2
Nd	4/9	0/9	11/8	8/9	9/8	4/3	8/9	5/1	4/8	10/4
Ni	82	200	122	9/0	51	10/5	93	118	127	60
Pb	<5	<5	<5	<5	<5	<5	<5	<5	<5	<5
Pr	0/94	0/12	2/94	1/99	1/92	0/83	1/75	0/98	0/82	2
Rb	17/3	2/5	5/9	2/1	2/8	15/8	7/8	3/9	10/4	9/5
Sm	1/67	0/38	2/70	2/81	3/20	1/55	2/91	1/72	1/72	3/36
Sn	1	1>	1	1	1	1	1	1	1	1
Sr	226	177/5	41	176	100	237	140/5	205	194	118/5
Ta	0/1	0/1>	0/5	0/1	0/1	0/1	0/1	0/1	0/1	0/1
Tb	0/40	0/14	0/47	0/72	0/82	0/42	0/73	0/48	0/48	0/82
Th	0/35	0/052	1/71	0/73	0/63	0/11	0/28	0/15	0/12	0/39
Tl	0/05>	0/05>	0/05>	0/05>	0/05>	0/05>	0/05>	0/05>	0/05>	0/05>
Tm	0/21	0/08	0/20	0/41	0/49	0/24	0/41	0/27	0/26	0/48
U	0/07	0/052	0/42	0/10	0/11	0/06	0/10	0/07	0/07	0/10
V	153	115	231	235	201	109	213	128	126	208
W	1>	1>	1>	1>	1>	1>	1>	1>	1>	1
Y	14/6	5/6	14/3	26/9	30/3	15/7	27/1	17/7	17/9	31/3
Yb	1/47	0/58	1/37	2/70	3/16	1/97	2/82	1/89	1/77	3/19
Zn	46	66	67	73	78	41	80	58	76	79
Zr	51	11	129	84	92	74	88	59	54	97

کتابنگاری

امینی‌آذر، ر. و عباسی، س.، ۱۳۸۲- نقشه زمین‌شناسی ۱/۱۰۰۰۰۰ ماکرو، سازمان زمین‌شناسی ایران.
 آفاباتی، س.ع.، ۱۳۸۳- زمین‌شناسی ایران، انتشارات سازمان زمین‌شناسی و اکتشافات معدنی کشور.
 بیوی، م.ح.، ۱۳۵۵- مقدمه‌ای بر زمین‌شناسی ایران، سازمان زمین‌شناسی ایران، ۱۰۹، ص.

References

- Abu-Hamalteh, Z. S. H., 2005- Geochemistry and petrogenesis of mafic magmatic rocks of the Jharol Belt, India: geodynamic implication. *Journal of Asian Earth Sciences*, 25: 557–581.
- Alavi, M. & Bolurchi, M. H., 1973- Exploratory text of the Maku Quadrangle Map, 1:25000. Geological Survey of Iran.
- Azizi, H., Chung, S. L., Tanaka, T. & Asahara, Y., 2010- Isotopic dating of the Khoy metamorphic complex (KMC), northwestern Iran: A significant revision of the formation age and magma source. *Precambrian Research*, 185: 87-94.
- Azizi, H., Moinevaziri, H. & Noghreayan, M., 2002- Geochemistry of metabasites rocks in the north of Khoy. *Journal of Science (in Farsi)*, University of Isfahan, Iran 15, 1–20.
- Azizi, H., Moinevaziri, H., Mohajjel, M. & Yagobpoor, A., 2006- PTt path in metamorphic rocks of the Khoy region (northwest Iran) and their tectonic significance for Cretaceous–Tertiary continental collision. *Journal of Asian earth Sciences* 27, 1-9.
- Boynton, W. V., 1984- Cosmochemistry of the rare earth elements: meteorite studies. In: Enderson, P. (Ed.), *Rare Earth Element Geochemistry*. Elsevier, Amsterdam, pp. 63–114.
- Chappell, B. W. & White, A. J. R., 1974- Two contrasting granite types. *Pacific Geology*, 8: 173–174.
- Eftekharneshad, J., 1975- Brief history and structural development of Azarbaijan. Geological Survey of Iran, Internal Report. 8p.
- Floyd, P. A. & Winchester, J. A., 1978- Identification and discrimination of altered and metamorphosed volcanic rocks using immobile elements. *Chemical Geology*, 21: 291–306.
- Forster, H., 1978- Mesozoic-Cenozoic metallogenesis in Iran. *Journal of the Geological society*, 135: 443-455.
- Gerasimousky, V. I., 1974- Trace elements in selected groups of alkaline rocks. In Sorensen, H. (Ed.), *The Alkaline Rocks*: New York (John Wiley and Sons), p. 402-411.
- Hassanipak, A. & Ghazi, M., 2000- Petrology, geochemistry and tectonic setting of the ophiolite, North West Iran: implications for tethyan tectonics. *Journal of Asian Earth sciences*, 18: 109-121.
- Hastie, A. R., Kerr, A. C., Pearce, J. A. & Mitchell, S. F., 2007- Classification of altered island arc rocks using immobile trace elements: development of the Th-Co discrimination diagram. *Journal of Petrology*, 48: 2341-2357.
- Khalatbari-Jafari, M., Jutea, T., Bellon, H. & Emami, H., 2003- Discovery of two ophiolite complexes of different ages in the Khoy area (NW Iran). *Geosciences*, 335: 917-929.
- Khalatbari-Jafari, M., Jutea, T., Bellon, H., Whitechurch, H., Cotton, J. & Emami, H., 2004- New geological, geochronological and geochemical investigation on the Khoy ophiolites and related formations, NW Iran. *Journal of Asian Earth Sciences*, 23: 507-535.
- Kretz, R., 1983- Symbols for rock-forming minerals. *American Mineralogist*, 68:277-279.
- Meschede, M., 1986- A method of discriminating between different types of mid ocean ridge basalts and continental tholeiites with the Nb-Zr-Y diagram. *Chemical Geology*, 56: 207-218.
- Miyashiro, A., 1975- Classification, characteristics and origin of ophiolites. *Journal of Geology*, 83:249-281.
- Moazzen, M., 2014- Protolith nature and tectonomagmatic features of amphibolites from the Qushchi area, West Azerbaijan, NW Iran. *Bulletin of the Mineral Research and Exploration*, 149: 139-152.
- Nagudi, B., Koeberl, C. & Kurat, G., 2003- Petrology and geochemistry of the Singo granite, Ugranda, and implication for its origin. *African Earth Sciences*, 36: 73-87.
- Pearce, J. A. & Cann, J. R., 1973- Tectonic setting of basic volcanic rocks determined using trace element analysis. *Earth Planetary Sciences Letters*, 19: 290-300.
- Pearce, J. A. & Norry, M. J., 1979- Petrogenetic Implications of Ti, Zr, Y, and Nb Variations in Volcanic Rocks. *Contributions to Mineralogy and Petrology*, 69: 33-47.
- Pearce, J. A., 1982- Trace element characteristics of lavas from destructive plate boundaries.- In: R.S. Thorpe (ed), *Andesites, orogenic andesites and related rocks*. J. Willey, Chichester, New York: 525-541.
- Pearce, J. A., 1983- Role of the sub-continental lithosphere in magma genesis at active continental margins. In: Hawkesworth, C. J. & Norry, M. J. (eds.) *Continental basalts and mantle xenoliths*. Shiva, Nantwich, pp. 230-249.
- Robertson, A. & Ustaomer, T., 2009- Upper Paleozoic subduction/accretion processes in the closure of Paleotethys: Evidence from the Chios Melange (E Greece), the Karaburun Melange (W Turkey) and the Teke Dere Unit (SW Turkey). *Sedimentary Geology*, 220 (1-2) :29-59.
- Rollinson, H. R., 1993- Using geological data: evaluation, presentation, interpretation. New York, John Wilay and Sons, p. 1-353.

- Saunders, A. D., Storey, M., Kent, R. W. & Norry, M. J., 1992- Consequences of plume–lithosphere interactions. In: Storey, B.C., Alabaster, T., Pankhurst, R.J. (Eds.), *Magmatism and the Causes of Continental Breakup*. Geological Society of London Special Publication, London, 68: 41–60.
- Seewald, J. S. & Seyfried, W. E. Jr., 1990- The effect of temperature on metal mobility in subseafloor hydrothermal systems: constraints from basalt alteration experiments. *Earth Planetary Sciences Letters*, 101: 388-403.
- Stocklin, J., 1968- Structural history and tectonics of Iran: a review, *American Association of Petroleum Geologists Bulletin*, 52: 1229-1258.
- Sun, S. S. & McDonough, W. F., 1989- Chemical and isotopic systematic of oceanic basalts: implications for mantle composition and processes, in: Saunders, A. D., Norry, M. J. (Eds.), *Magmatism in the Ocean Basins Geological Society of London Special Publications*, 42: 313–345.
- Tankut, A., 1990- Geochemical implications for tectonic setting of the ophiolitic rocks from the ophiolites mélange belt of the Ankara mélange. *Mineral Research and Exploration Bulletin*, 110: 17-28.
- Tarney, J., Weaver, B. L. & Drury, S. A., 1979- Geochemistry of Archean trodjhemitic and tonalitic gneisses from Scotland and East Greenland, In: Barker, F. (Ed), *Trondjemites, dacites and related rocks*. Elsevier, Amsterdam, 275-299.
- Thompson, R. N., Morrison, M. A., Hendry, G. L. & Parry, S. J., 1984- An assessment of the relative roles of a crustal and mantle in magma genesis: an elemental approach. *Philosophical Transactions of the Royal Society*, A310, 549-590.
- Wilson, M., 1989- Igneous Petrogenesis. London, Unwin Hyman, 466p.
- Wilson, M., 1993- Magmatism and the geodynamics of basin formation. *Sedimentary Geology*, 86: 5-29.
- Wood, D. A., 1980- The application of a Th-Hf-Ta diagram to problems of tectonomagnetic classification and to establishing nature of basaltic lavas of the British Tertiary Volcanic Province. *Earth Planetary Sciences Letters*, 50: 11-30.
- Zhang, R. M., Follows, J., Grotzinger, J. & Marshall, J., 2001- Could the Late Permian deep ocean have been anoxic? *Paleoceanography*, 16: 317– 329.

Petrology and geochemistry of amphibolites from Southeast of Siyah-Cheshmeh, NW Iran

R. Hajialioghli ^{1*}, H. Fakharinezhad ² & M. Moazzen ³

¹ Associate Professor, Department of Earth Sciences, Faculty of Natural Sciences, University of Tabriz, Tabriz, Iran

² M.Sc. Student, Department of Earth Sciences, Faculty of Natural Sciences, University of Tabriz, Tabriz, Iran

³ Professor, Department of Earth Sciences, Faculty of Natural Sciences, University of Tabriz, Tabriz, Iran

Received: 2015 March 07

Accepted: 2015 October 25

Abstract

The study area (Siyah-Cheshmeh), is located to the south Maku in the Khoy-Maku ophiolite zone. The various outcropped metamorphic rocks include serpentinites, metabasites (green schist, amphibolite) and meta-pelitic rocks (slate, mica-schist) with interlayers of marble and quartzite. The amphibolites can be classified as actinolite-amphibolite, epidote-actinolite- amphibolite, biotite-amphibolite, amphibolite and garnet-amphibolite. They have fine- to coarse-grained granoblastic texture. On the basis of whole rock chemistry, the protolith composition of the amphibolites has been determined as basalts with tholeiitic and less commonly, calc-alkaline affinities, developed in an island arc setting. The negative anomaly of Nb as well as small enrichments in LILE and LREE support arc related and tholeiitic signatures for the protolith. Considering the unknown age of the studied amphibolites, it is difficult to propose an appropriate tectonic model for formation of the investigated rocks. If the amphibolites are related to the Khoy-Maku ophiolitic complex, then they would be the result of subduction of the northern branch of the Neotethys ocean basin, development of an island arc and eventually metamorphism of the rocks due to closure and collision. Since the age is not clear, it is not possible to conclude unequivocally if the rocks are results of the Neotethys subduction system or they are related to an older, possibly a Precambrian subduction system. Dating the rocks will help to propose a suitable model for their formation.

Keywords: Geochemistry, Amphibolite, Island arc, Siyah-Cheshmeh, NW Iran.

For Persian Version see pages 111 to 122

*Corresponding author: R. Hajialioghli; E-mail: hajialioghli@tabrizu.ac.ir